

Лекция. Инвариант Расмуссена

Содержание

1 Инвариант Расмуссена: определение и основные свойства

- Инвариант s
- Свойства s

2 Поведение при кобордизмах

- Элементарные кобордизмы
- Индуцированные отображения
- Канонические образующие
- Четырехмерный род

3 Вычисления и связь с другими инвариантами

- Положительные узлы

4 Упражнения

Содержание

1 Инвариант Расмуссена: определение и основные свойства

- Инвариант s
- Свойства s

2 Поведение при кобордизмах

- Элементарные кобордизмы
- Индуцированные отображения
- Канонические образующие
- Четырехмерный род

3 Вычисления и связь с другими инвариантами

- Положительные узлы

4 Упражнения

Пусть K - узел в S^3 . Существует спектральная последовательность, связанная с K , которая сходится к $\mathbb{Q} \oplus \mathbb{Q}$. Эта спектральная последовательность является относительно сложным объектом, но мы можем извлечь из нее некоторые более простые инварианты K .

Пусть s_{max} и s_{min} (с $s_{max} \geq s_{min}$) — q -градуировки двух сохранившихся копий \mathbb{Q} , которые остаются в члене E_∞ спектральной последовательности. Как и все q -градуировки узла, s_{max} и s_{min} — нечетные числа. Поскольку спектральная последовательность является инвариантом K , s_{max} и s_{min} инварианты.

Предположим, что C — цепной комплекс. *Фильтрация конечной длины* на C — это последовательность подкомплексов

$$0 = C_n \subset C_{n-1} \subset C_{n-2} \subset \cdots \subset C_m = C.$$

С такой фильтрацией мы связываем *градуировку*, определенную следующим образом:

$x \in C$ имеет градуировку $i \Leftrightarrow x \in C_i$ но $x \notin C_{i+1}$.

Отображение между двумя отфильтрованными цепными комплексами $f : C \rightarrow C'$ согласовано с фильтрацией, если $f(C_i) \subset C'_i$. Скажем, что f — это *фильтрованное отображение степени k* , если $f(C_i) \subset C'_{i+k}$.

Фильтрация $\{C_i\}$ на C задает фильтрацию $\{S_i\}$ на $H_*(C)$ так:

класс $[x] \in H_*(C)$ лежит в S_i , если он имеет представитель в C_i .

Если $f : C \rightarrow C'$ является фильтрованным цепным отображением степени k , то легко видеть, что индуцированное отображение $f_* : H_*(C) \rightarrow H_*(C')$ также фильтрованное степени k .

Фильтрация конечной длины $\{C_i\}$ на C индуцирует спектральную последовательность, которая сходится к соответствующей градуированной группе индуцированной фильтрацией $\{S_i\}$. Другими словами, группа, которая выживает при классификации i в спектральной последовательности, естественным образом отождествляется с группой S_i/S_{i+1} .

Обозначим через s градуировку на $Kh'(K)$, индуцированную q -градуировкой на $CKh'(K)$. Точнее, для $\alpha \in Kh'(K)$,

$$s(\alpha) = \max\{q(v)|[v] = \alpha, v \in CKh'(K)\}. \quad (1)$$

Тогда приведенное выше неформальное определение эквивалентно

Definition 1.1

Set

$$s_{\min}(K) = \min\{s(x) \mid x \in Kh'(K), x \neq 0\}$$

$$s_{\max}(K) = \max\{s(x) \mid x \in Kh'(K), x \neq 0\}.$$

Так как гомологии Kh тривиального узла U двумерны и имеют носитель в q -градуировке ± 1 , то $s_{\max}(U) = 1$, $s_{\min}(U) = -1$.

Другое доказательство, что s_{\max} и s_{\min} — инварианты узлов вытекает из следующего утверждения.

Proposition 1.2

Отображения ρ'_{i*} и $(\rho'_{i*})^{-1}$ согласованы с индуцированной фильтрацией s на Kh' .

Содержание

1 Инвариант Расмуссена: определение и основные свойства

- Инвариант s
- Свойства s

2 Поведение при кобордизмах

- Элементарные кобордизмы
- Индуцированные отображения
- Канонические образующие
- Четырехмерный род

3 Вычисления и связь с другими инвариантами

- Положительные узлы

4 Упражнения

Наша первая задача в этом разделе — доказать

Proposition 1.3

$$s_{\max}(K) = s_{\min}(K) + 2$$

что оправдывает

Definition 1.4

$$s(K) = s_{\max}(K) - 1 = s_{\min}(K) + 1$$

Так как s_{\max} и s_{\min} нечетны, $s(K)$ всегда четно.

Для доказательства утверждения, нам нужны некоторые предварительные результаты.

Lemma 1.5

Пусть n — число компонент L .

- ❶ Имеется разложение $Kh'(L) \cong Kh'_o(L) \oplus Kh'_e(L)$, где $Kh'_o(L)$ порождено элементами с q -градуировкой, сравнимой с $2 + n \pmod{4}$, а $Kh'_e(L)$ порождено элементами с q -градуировкой, сравнимой с $n \pmod{4}$.
- ❷ Если o — ориентация L , то $s_o + s_{\bar{o}}$ лежит в одном из двух слагаемых, а $s_o - s_{\bar{o}}$ содержится в другом слагаемом.

Доказательство. Следуя Ли [17], запишем

$$m' = m + \Phi_m$$

$$\Delta' = \Delta + \Phi_\Delta$$

где m и Δ сохраняют q -градуировку, а Φ_m и Φ_Δ увеличивают ее на 4. Это доказывает первое утверждение.

Для второго утверждения пусть $\iota : CKh'(L) \rightarrow CKh'(L)$ — отображение, которое действует тождественно на CKh'_e и умножением на -1 на CKh'_o . Мы утверждаем, что $\iota(s_o) = \pm s_{\bar{o}}$.

Чтобы увидеть это, определим новую градуировку на V , в которой X соответствует 0 , а $1 - 2$. Пусть $i : V \rightarrow V$ задается через $i(X) = X$, $i(1) = -1$, так что $i(a) = b$ и $i(b) = a$. Тогда индуцированное отображение $i^{\otimes n} : V^{\otimes n} \rightarrow V^{\otimes n}$ действует тождественно на элементах с новой градуировкой $0 \pmod{4}$, и как умножение на -1 на элементах с градуировкой $2 \pmod{4}$. Новая градуировка отличается от q -градуировки на D_o сдвигом, так что

$$\iota(s_o) = \pm i^{\otimes n}(s_o) = \pm s_{\bar{o}}$$

Следовательно, $s_o + \iota(s_o) = s_o \pm s_{\bar{o}}$ лежит в одном слагаемом, а $s_o - \iota(s_o) = s_o \mp s_{\bar{o}}$ — в другом. \square

Corollary 1.6

$$s(s_o) = s(s_{\bar{o}}) = s_{min}(K)$$

Доказательство. По лемме 1.5, имеется разложение в прямую сумму $Kh'(K) \cong Kh'_o(K) \oplus Kh'_e(K)$, где $Kh'_o(K)$ порождено элементами с q -градуировкой $3 \pmod{4}$, а $Kh'_e(L)$ порождено элементами с q -градуировкой $1 \pmod{4}$.

Из леммы 1.5 следует, что $s_o + s_{\bar{o}}$ лежит в одном слагаемом, а $s_o - s_{\bar{o}}$ — в другом.

Так как ранг $Kh'(K)$ равен 2, $s_o + s_{\bar{o}}$ и $s_o - s_{\bar{o}}$ являются образующими.

Заметим, что $s(a + b) = \min\{s(a), s(b)\}$.

Так как $s_o = \frac{1}{2}((s_o + s_{\bar{o}}) + (s_o - s_{\bar{o}}))$,

$$s(s_o) = \min\{s(s_o + s_{\bar{o}}), s(s_o - s_{\bar{o}})\}.$$

Так как каждый элемент $\alpha \in Kh'(K)$ порождается $s_o + s_{\bar{o}}$ и $s_o - s_{\bar{o}}$, и $s(a + b) = \min\{s(a), s(b)\}$ для $a, b \in Kh'(K)$, то $s(s_o) \leq s(\alpha)$ для всех $\alpha \in Kh'(K)$. Из предыдущих наблюдений следует, что $s(s_o) = s_{min}(K)$. \square

Corollary 1.7

$$s_{\max}(K) > s_{\min}(K).$$

Доказательство. Поскольку $CKh'(K)$ разлагается как прямая сумма, связанная спектральная последовательность также разлагается. Гомология каждого слагаемого равна \mathbb{Q} , поэтому в каждом находится один из выживших членов спектральной последовательности. Два слагаемых имеют разные q -градуировки, поэтому оставшиеся члены также должны иметь разные q -градуировки. \square

Lemma 1.8

Для узлов K_1, K_2 имеется короткая точная последовательность

$$0 \rightarrow Kh'(K_1 \# K_2) \xrightarrow{p_*} Kh'(K_1) \otimes Kh'(K_2) \xrightarrow{\partial} Kh'(K_1 \# K_2) \rightarrow 0$$

Отображения p_* и ∂ фильтрованные степени -1 .

$$Ckh\left(\begin{array}{c} K_1 \\ \nearrow \searrow \\ K_2 \end{array}\right) = CKh\left(\begin{array}{c} K_1 \\ \text{---} \\ K_2 \end{array}\right) \downarrow CKh\left(\begin{array}{c} K_1 \\ \text{---} \\ K_2 \end{array}\right)$$

The diagram illustrates the decomposition of a crossing between two components, \$K_1\$ and \$K_2\$, represented by boxes. On the left, a crossing is shown with arrows indicating orientation. This is equated to the sum of two terms on the right. The first term shows \$K_1\$ and \$K_2\$ as separate components connected by a single horizontal line. The second term shows \$K_1\$ and \$K_2\$ as separate components connected by two parallel horizontal lines.

Figure 1: Короткая точная последовательность для $CKh'(K_1 \# K_2)$.

Доказательство (утверждения 1.3.) Рассмотрим точную последовательность предыдущей леммы с $K_1 = K$ и тривиальным $K_2 = U$. Обозначим канонические образующие K через s_a и s_b , согласно их метке рядом с точкой связной суммы, а канонические генераторы U через a и b . То есть, s_a является каноническим генератором K , в котором крайняя правая дуга, где мы делаем связную сумму с U , помечена a , и аналогично задается s_b , см. рис. 2.

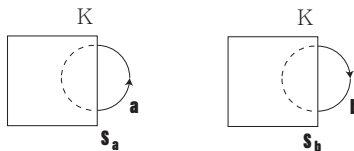


Figure 2: Канонические образующие s_a и s_b для K

Не теряя общности, предположим, что $s(s_a - s_b) = s_{\max}(K)$. Из рисунка 3 видно, что $\partial((s_a - s_b) \otimes a) = s_a$.

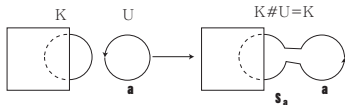


Figure 3: По определению s_a имеем $\partial((s_a - s_b) \otimes a) = s_a$, где $\partial : Kh'(K_1) \otimes Kh'(K_2) \rightarrow Kh'(K_1 \# K_2)$

Так как ∂ фильтрованное отображение степени -1 , заключаем, что

$$s((s_a - s_b) \otimes a) \leq s(s_a) + 1.$$

Из того факта, что

$$s_{\max}(K) - 1 = s(s_a - s_b) - 1 \leq s(s_a - s_b) + s(a) \leq s((s_a - s_b) \otimes a)$$

получаем

$$s_{\max}(K) - 1 \leq s_{\min}(K) + 1.$$

Поскольку мы уже знаем, что $s_{\max}(K) \neq s_{\min}(K)$, это дает желаемый результат. \square

Содержание

1 Инвариант Расмуссена: определение и основные свойства

- Инвариант s
- Свойства s

2 Поведение при кобордизмах

- Элементарные кобордизмы
- Индуцированные отображения
- Канонические образующие
- Четырехмерный род

3 Вычисления и связь с другими инвариантами

- Положительные узлы

4 Упражнения

Проверим, что s ведет себя хорошо по отношению к зеркальному отображению и связной сумме.

Proposition 1.9

Пусть \overline{K} — зеркальный узел для K . Тогда

$$s_{\max}(\overline{K}) = -s_{\min}(K)$$

$$s_{\min}(\overline{K}) = -s_{\max}(K)$$

$$s(\overline{K}) = -s(K)$$

Доказательство. Пусть C — отфильтрованный комплекс с фильтрацией $C = C_0 \supset C_1 \supset \dots \supset C_n = \{0\}$. Тогда на двойственном комплексе C^* есть фильтрация $\{0\} = C_0^* \subset C_{-1}^* \subset \dots \subset C_{-n}^* = C^*$, где $C_{-i}^* = \{x \in C^* \mid \langle x, y \rangle = 0, \forall y \in C_i\}$.

Чтобы доказать это утверждение, заметим, что фильтрованный комплекс $CKh'(\overline{K})$ изоморфен $(CKh'(K))^*$. Действительно, имеется изоморфизм

$$r : (V, m', \Delta') \rightarrow (V^*, \Delta'^*, m'^*)$$

который отображает 1 и X в X^* и 1^* . Тогда, если s является состоянием диаграммы \overline{K} , мы определяем $R(s)$ как состояние K , полученное путем применения r ко всем меткам s . Несложно проверить, что отображение $R : CKh'(\overline{K}) \rightarrow (Kh'(K))^*$ является желаемым изоморфизмом.

$$CKh(\overline{K}) \cong (CKh(K))^*.$$

Теперь мы сошлемся на следующий общий результат, доказательство которого оставлено в качестве упражнения:

Lemma 1.10

Если C_1 и C_2 являются двойственными фильтрованными комплексами над полем, тогда связанные с ними спектральные последовательности E_n^1 и E_n^2 являются двойственными в том смысле, что $E_n^1 \cong (E_n^2)^$.*

Таким образом, если две уцелевших образующих в E_∞^1 имеют градуировки s_{min} и s_{max} , уцелевшие образующие в E_∞^2 будут иметь градуировки $-s_{max}$ и $-s_{min}$. \square

Proposition 1.11

$$s(K_1 \# K_2) = s(K_1) + s(K_2)$$

Доказательство. Воспользуемся короткой точной последовательностью из леммы 1.8. Обозначим канонические образующие K_i через s_a^i и s_b^i , согласно их метке рядом с точкой взятия суммы. Нетрудно заметить, что $Kh'(K_1 \# K_2)$ имеет каноническую образующую s_o , которая отображается в $s_a \otimes s_b$ под действием r_* . Таким образом,

$$s(s_o) - 1 \leq s(s_a^1 \otimes s_b^2)$$

$$s_{min}(K_1 \# K_2) - 1 \leq s_{min}(K_1) + s_{min}(K_2)$$

Применяя тот же аргумент к \overline{K}_1 и \overline{K}_2 , и используя тот факт, что $s_{min}(K) = -s_{max}(K)$, мы видим, что

$$s_{max}(K_1 \# K_2) + 1 \geq s_{max}(K_1) + s_{max}(K_2)$$

$$s_{min}(K_1 \# K_2) + 3 \geq s_{min}(K_1) + s_{min}(K_2) + 4.$$

Таким образом,

$$s_{min}(K_1 \# K_2) = s_{min}(K_1) + s_{min}(K_2) + 1$$

$$s_{max}(K_1 \# K_2) = s_{max}(K_1) + s_{max}(K_2) - 1.$$

Это доказывает утверждение. \square

Содержание

1 Инвариант Расмуссена: определение и основные свойства

- Инвариант s
- Свойства s

2 Поведение при кобордизмах

- Элементарные кобордизмы
- Индуцированные отображения
- Канонические образующие
- Четырехмерный род

3 Вычисления и связь с другими инвариантами

- Положительные узлы

4 Упражнения

Пусть L_0 и L_1 — зацепления в \mathbb{R}^3 . *Ориентированный кобордизм от L_0 до L_1* — это гладкая ориентированная компактная поверхность $S \subset \mathbb{R}^3 \times [0, 1]$, такая что $S \cap (\mathbb{R}^3 \times \{i\}) = L_i$.

Ниже мы определим и изучим отображение $\phi_S : Kh'(L_0) \rightarrow Kh'(L_1)$, индуцированное таким кобордизмом. Наша конструкция следует разделу 6.3 из [10], где Хованов описывает аналогичное отображение для теории гомологий Kh .

Содержание

- 1 Инвариант Расмуссена: определение и основные свойства
 - Инвариант s
 - Свойства s
- 2 Поведение при кобордизмах
 - Элементарные кобордизмы
 - Индуцированные отображения
 - Канонические образующие
 - Четырехмерный род
- 3 Вычисления и связь с другими инвариантами
 - Положительные узлы
- 4 Упражнения

Мы разложим кобордизм S на последовательность элементарных кобордизмов, каждый из которых представлен одним переходом от одной плоской диаграммы к другой. (подробности см. [?]). Для $i \in [0, 1]$ положим

$$L_i = S \cap (\mathbb{R}^3 \times \{i\})$$

$$S_i = S \cap (\mathbb{R}^3 \times [0, i]).$$

После небольшой изотопии S мы можем предположить, что L_i является зацеплением в \mathbb{R}^3 для всех значений i , кроме конечного числа. Ориентация на S задает ориентацию на S_i , а значит, на L_i . Обозначим эту ориентацию через o_i . (Обратите внимание, что в соответствии с этим соглашением o_0 является обратной ориентацией, индуцированной на L_0 с помощью S). Смотрите рис. 4.

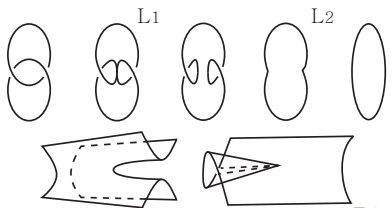


Figure 4: Разложение кобордизма

Далее, мы фиксируем проекцию $p : \mathbb{R}^3 \rightarrow \mathbb{R}^2$. После небольшой изотопии S мы можем считать, что p определяет регулярную проекцию L ; для всех значений i , кроме конечного числа, и что этот набор специальных значений не пересекается с первым набором, где L не является зацеплением.

Изотопический тип ориентированной плоской диаграммы L ; остается постоянным, за исключением специальных значений, когда L подвергается локальным движениям. Эти движения соответствуют элементарным кобордизмам, которые можно разделить на два типа: движения Рейдемейстера и движения Морса. Примеры кобордизмов для движений Рейдемейстера приведены на рис. ??.

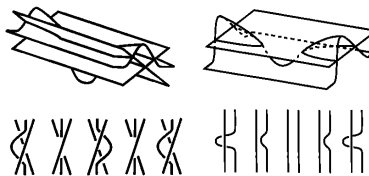


Figure 5: Элементарные движения, отвечающие движениям Рейдемейстера

Элементарные кобордизмы, соответствующие движениям Рейдемайстера, не изменяют топологию поверхности S_i . Движения Морса соответствуют добавлению 0, 1 или 2-ручки к S_i . Они изображены на рисунке 6.

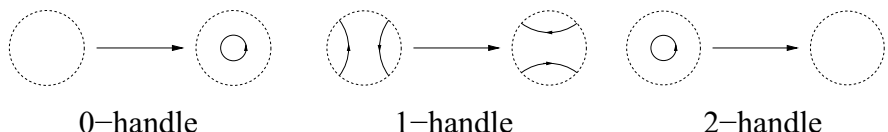


Figure 6: Движения Морса

Содержание

1 Инвариант Расмуссена: определение и основные свойства

- Инвариант s
- Свойства s

2 Поведение при кобордизмах

- Элементарные кобордизмы
- Индуцированные отображения
- Канонические образующие
- Четырехмерный род

3 Вычисления и связь с другими инвариантами

- Положительные узлы

4 Упражнения

Кобордизму S между L_0 и L_1 , сопоставим отображение $\phi_S : Kh'(L_0) \rightarrow Kh'(L_1)$, согласованное с фильтрацией на Kh' . Кроме того, мы хотели бы, чтобы это сопоставление было функциональным, в том смысле, что если S является композицией двух кобордизмов S_1 и S_2 , то ϕ_S — это композиция ϕ_{S_1} и ϕ_{S_2} . Таким образом, достаточно рассмотреть случай, когда S — элементарный кобордизм.

Если S — элементарный кобордизм, соответствующий i -му движению Рейдемайстера или его обратному, мы определяем ϕ_S как ρ'_{i*} или обратное к нему. Согласно предложению 1.2, это фильтрованное отображение степени 0.

Если S — элементарный кобордизм, соответствующий движению Морса, определим ϕ_S как отображение, индуцированное $\psi : CKh'(L_0) \rightarrow CKh'(L_1)$, где ψ — результат применения TQFT \mathcal{A}' к соответствующему отображению кубов. Другими словами, если движение соответствует добавлению 0-ручки или 2-ручки, мы применяем ι' или ϵ' , соответственно, к слагаемому в каждой вершине куба. Если же оно соответствует добавлению 1-ручки, мы применяем либо m' , либо Δ' , в зависимости от того, приводит ли движение к слиянию или разделению в рассматриваемой вершине. Тогда можно легко доказать следующее утверждение:

Proposition 2.1

ϕ_S — это фильтрованное отображение степени 1 для добавления 0- или

В общем случае, разложим кобордизм S в композицию элементарных кобордизмов: $S = S_1 \cup S_2 \dots \cup S_k$ и определим индуцированный морфизм $\phi_S : Kh'(L_0) \rightarrow Kh'(L_1)$ как композицию $\phi_{S_k} \circ \dots \circ \phi_{S_1}$, которая является фильтрованным отображением степени $\chi(S)$.

Отображение ϕ_S зависит только от класса изотопии $S \text{ rel } \partial S$ но

Содержание

1 Инвариант Расмуссена: определение и основные свойства

- Инвариант s
- Свойства s

2 Поведение при кобордизмах

- Элементарные кобордизмы
- Индуцированные отображения
- Канонические образующие
- Четырехмерный род

3 Вычисления и связь с другими инвариантами

- Положительные узлы

4 Упражнения

Отображения ϕ_S ведут себя хорошо по отношению к каноническим образующим.

Пусть V — градуированное векторное пространство с базисом 1 и X с градуировкой 1 и -1 соответственно. Рассмотрим базис $\{a, b\}$ в V ,

$$a = X + 1, b = X - 1.$$

Тогда отображения $m' : V \otimes V \rightarrow V$ и $\Delta' : V \rightarrow V \otimes V$ примут вид:

$$m'(a \otimes a) = 2a; \quad m'(a \otimes b) = m'(b \otimes a) = 0; \quad m'(b \otimes b) = -2b; \quad (2)$$

$$\Delta'(a) = a \otimes a; \quad \Delta'(b) = b \otimes b. \quad (3)$$

Легко проверить, что отображения $\epsilon : V \rightarrow \mathbb{Q}$ и $\iota : \mathbb{Q} \rightarrow V$ удовлетворяют тождествам

$$\epsilon'(a) = \epsilon'(b) = 1, \quad \iota(1) = \frac{(a - b)}{2}.$$

Definition 2.2

Кобордизм S из L_0 в L_1 слабо связан, если у любой компоненты S есть граничная компонента, являющаяся компонентой L_0 .

Я. Расмуссен доказал следующее.

Proposition 2.3 (J.A. Rasmussen)

Пусть S — ориентированный слабосвязанный кобордизм из L_0 в L_1 .
Тогда $\phi_S([s_{o_0}])$ является ненулевым кратным $[s_{o_1}]$.

Доказательство утверждения 2.3

Доказательство утверждения 2.3 Фактически, мы докажем более сильное утверждение. Предположим, что i является регулярным значением для кобордизма S , так что L_i зацепление. Разделим компоненты S_i на два вида: компоненты *первого типа*, пересекающие L_0 , и остальные компоненты *второго типа*. Скажем, что ориентация o на S_i является *допустимой*, если она согласуется с ориентацией S на компонентах первого типа. (Здесь и далее мы используем o_I для обозначения как допустимой ориентации на S_i , так и ориентации, которую она индуцирует на L_i).

Claim

$$\phi_{S_i}([s_{o_0}]) = \sum_I a_I [s_{o_I}]$$

где $\{o_I\}$ пробегает множество допустимых ориентаций на S_i , и каждый коэффициент a_I

Доказательство утверждения 2.3: продолжение

Заметим, что условие слабой связности подразумевает, что существует только одна допустимая ориентация на S_1 , поэтому утверждение 2.3 вытекает из предыдущего.

Достаточно проверить, что если утверждение верно для S_i , то оно справедливо и для S'_i , где S'_i — композиция S_i с одним элементарным кобордизмом S_e .

движения Рейдемейстера: Если этот кобордизм соответствует движению Рейдемейстера, то это прямое следствие утверждения ???. Ниже мы проверим, что оно справедливо и для каждого движения Морса.

Добавление 0-ручки: В этом случае $\phi_{S_e}(s_{o_I}) = s_{o_I} \otimes \frac{1}{2}(a - b)$, где второй множитель в тензорном произведении относится к меткам на новой окружности. $S_{i'}$ содержит новую компоненту второго типа — диск, ограниченный новой окружностью, а $s_{o_I} \otimes a$ и $s_{o_I} \otimes b$ являются каноническими образующими для двух возможных ориентаций на $S_{i'}$, которые согласуются с o_I на всех компонентах, кроме новой. Смотрите рис. 7.

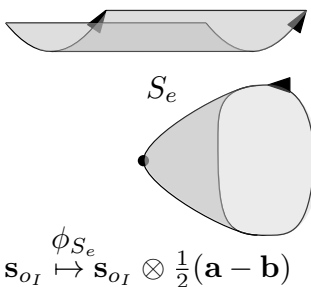


Figure 7: Отображение ϕ_{S_e} при добавлении 0-ручки

Доказательство утверждения 2.3: продолжение

Добавление 1-ручки: Предположим, что ориентация o_I на самом деле является ориентацией o_i , индуцированной S_i . Тогда две дуги, участвующие в движении, имеют противоположные ориентации, поэтому, согласно лемме ??, они должны иметь одинаковую метку. Так как

$$m'(a \otimes a) = 2a$$

$$m'(b \otimes b) = -2b$$

$$\Delta'(a) = a \otimes a$$

$$\Delta'(b) = b \otimes b$$

получаем, что $\phi_{S_e}(s_{o_i})$ — ненулевое кратное $s_{o_{I'}}$.

В общем случае ориентация o_I либо совместима с некоторой ориентацией o_e на S_e , либо нет. В первом случае две дуги, участвующие в движении, имеют противоположную ориентацию и одинаковую метку, а $\phi_{S_e}(s_{o_I})$ является ненулевым кратным $s_{o'}$, где o'_I — ориентация, индуцированная на $L_{i'}$ с помощью o_e . В последнем случае две дуги сонаправлены и имеют разные метки, поэтому $\phi_{S_e}(s_{o_I}) = 0$.

Доказательство утверждения 2.3: продолжение

Теперь мы рассмотрим, что происходит с компонентами S_i при движении. Если движение разбивает одну компоненту L_i на две $L_{i'}$, то количество и тип компонент S_i остаются постоянными. В этом случае набор допустимых ориентаций на S_i естественным образом отождествляется с набором допустимых ориентаций на $S_{i'}$. Всегда найдется ориентация на S_e , совместимая с o_i , и $\phi_{S_e}(s_{o_i})$ является ненулевым кратным $s_{o'_i}$.

С другой стороны, если движение сливает две компоненты L_i в одну $L_{i'}$, есть несколько возможностей. Если слияние включает только одну компоненту S_i , ситуация аналогична описанной выше: всегда существует ориентация на S_e , совместимая с o_i , и $\phi_{S_e}(s_{o_i})$ является ненулевым кратным $s_{o'_i}$. Тот же аргумент применяется, когда S_e объединяет две компоненты S_i , принадлежащих к первому типу.

Доказательство утверждения 2.3: продолжение

Наконец, предположим, что слияние объединяет две компоненты S_i , одна из которых относится ко второму типу. Тогда набор допустимых ориентаций на $S_{i'}$ только вдвое меньше набора допустимых ориентаций на S_i . Если o_I расширяется до допустимой ориентации o'_I на $S_{i'}$, то $\phi_{S_e}(s_{o_I}) = s_{o'_I}$, иначе $\phi_{S_e}(s_{o_I}) = 0$.

Добавление 2-ручки: В этом случае допустимая ориентация o_I на S_i продолжается до единственной допустимой ориентации o'_I на $S_{i'}$. Поскольку $\epsilon'(a) = \epsilon'(b) = 1$, $\phi_{S_e}(s_{o_I}) = s_{o'_I}$. Чтобы доказать это утверждение, достаточно показать, что две допустимые ориентации на S'_i не могут индуцировать одинаковую ориентацию на $L_{i'}$. Но если бы это было так, S_i имела бы замкнутую компоненту, что противоречит слабой связности S . \square

Из предложения 2.3 мы получаем следующий важный результат.

Corollary 2.4

Если S является связным кобордизмом между узлами K_0 и K_1 , то ϕ_S является изоморфизмом.

Доказательство Зафиксируем ориентацию o на S . Тогда $\{s_{o_0}, s_{\bar{o}_0}\}$ — базис $Kh'(K_1)$. Его образ под действием ϕ_S $\{k_1 s_{o_1}, k_2 s_{\bar{o}_1}\}$, ($k_1, k_2 \neq 0$), — базис $Kh'(K_2)$. \square

Содержание

1 Инвариант Расмуссена: определение и основные свойства

- Инвариант s
- Свойства s

2 Поведение при кобордизмах

- Элементарные кобордизмы
- Индуцированные отображения
- Канонические образующие
- Четырехмерный род

3 Вычисления и связь с другими инвариантами

- Положительные узлы

4 Упражнения

Теперь мы можем доказать следующую теорему.

Theorem 2.5 ([22])

$$|s(K)| \leq 2g_*(K).$$

Доказательство (теоремы 2.5.) Пусть $K \subset S^3$ ограничивает ориентированную поверхность рода g в B^4 . Тогда существует ориентируемый связный кобордизм эйлеровой характеристики $-2g$ между K и тривиальным узлом U в $\mathbb{R}^3 \times [0, 1]$. Пусть $x \in Kh'(K) - \{0\}$ — класс, для которого $s(x)$ максимален. Тогда $\phi_S(x)$ — ненулевой элемент $Kh'(U)$. Далее ϕ_S — фильтрованное отображение степени $-2g$, так что

$$s(\phi_S(x)) \geq s(x) - 2g. \quad (4)$$

С другой стороны, $s_{max}(U) = 1$, так что

$$s(\phi_S(x)) \leq 1.$$

Следовательно, $s(x) \leq 2g + 1$, значит, $s_{max}(K) \leq 2g + 1$ и $s(K) \leq 2g$. Чтобы показать, что $s(K) \geq -2g$, применим тот же аргумент к \bar{K} (ограничивающему поверхность \bar{S} рода g) и воспользуемся равенством $s(\bar{K}) = -s(K)$. \square

Remark 2.6

Из уравнения 42 в доказательстве теоремы 2.5 можно заметить, что степень изоморфизма $\phi_S(x)$ фильтрованных комплексов очень высока и требуется много ручек.

Theorem 2.7

Отображение s индуцирует гомоморфизм из $\text{Conc}(S^3)$ в \mathbb{Z} , где $\text{Conc}(S^3)$ обозначает группу конкордантности узлов в S^3 .

Доказательство(теоремы 2.7.) Если K_1 и K_2 конкордантны, то $K_1 \# \overline{K_2}$ срезан, значит,

$$0 = s(K_1 \# \overline{K_2}) = s(K_1) - s(K_2).$$

Таким образом, s задает корректное отображение из $\text{Conc}(S^3)$ в \mathbb{Z} . То, что это отображение является гомоморфизмом, непосредственно вытекает из предложений 1.9 и 1.11. \square

В [18] Ливингстон показывает, что скейн-неравенство в следующей лемме справедливо для любого инварианта узла, удовлетворяющего свойствам теорем 2.5 и 2.7.

Corollary 2.8

Предположим, что K_+ и K_- являются узлами, которые отличаются одним изменением перекрестка — от положительного перекрестка в K_+ до отрицательного в K_- . Тогда

$$s(K_-) \leq s(K_+) \leq s(K_-) + 1$$

Remark 2.9

По теореме 2.5 инвариант Расмуссена дает нижнюю границу для срезанного рода, в частности, если $s(K) \neq 0$, то K не является срезанным. Но, если $s(K) = 0$, то мы не можем определить, является ли K срезанным узлом.

В частности, специалисты по теории узлов долгое время не могли определить срезанность узла Конвея, изображенного на рис. ???. Недавно, в 2018 году, Лиза Пиччирилло показала, что это не узел Конвея не срезанный.

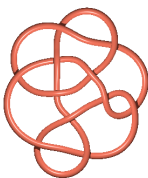


Figure 8: Узел Конвея

Содержание

- 1 Инвариант Расмуссена: определение и основные свойства
 - Инвариант s
 - Свойства s
- 2 Поведение при кобордизмах
 - Элементарные кобордизмы
 - Индуцированные отображения
 - Канонические образующие
 - Четырехмерный род
- 3 Вычисления и связь с другими инвариантами
 - Положительные узлы
- 4 Упражнения

Если узел K положителен, то $s(K)$ можно вычислить непосредственно по определению. Чтобы убедиться в этом, рассмотрим каноническую образующую s_o для положительной диаграммы K . Каждый перекресток в K положительный, значит, его ориентированное разведение есть 0-разведение. Таким образом, состояние s_o имеет гомологическую градуировку 0, а в $CKh'(K)$ нет элементов с градуировкой -1 . Следовательно, s_o совпадает со своим классом гомологий, так что

$$s_{min}(K) = s([s_o]) = q(s_o)$$

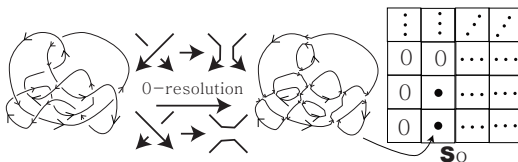


Figure 9: Для положительного узла 0-разведение и ориентированное разведение совпадают.

Чтобы вычислить $q(s_o)$, мы возвращаемся к базису $\{v_-, v_+\}$. В разложении s_o есть единственное состояние с минимальной q -градуировкой, а именно состояние, в котором каждая окружность ориентированного разведения помечена v_- . Если положительная диаграмма K имеет n перекрестков, а ее ориентированное разведение имеет k окружностей, то

$$\begin{aligned} q(s_o) &= p(s_o) + gr(s_o) + n_+ - n_- \\ &= -k + 0 + n - 0 \end{aligned}$$

т.е.

$$s(K) = -k + n + 1.$$

С другой стороны, алгоритм Зейферта строит поверхность Зейферта S для K с эйлеровой характеристикой $k - n$, так что

$$2g(K) \leq 2g(S) = n - k + 1 = s(K) \leq 2g_*(K)$$

Поскольку $g_*(K) \leq g(K)$, все приведенные выше неравенства должны быть равенствами. На этом доказательство теоремы завершается 3.1.

Theorem 3.1

Если K – положительный узел, то $s(K) = 2g_ = 2g_K$, где $g(K)$ – обычный (зейфертовский) род K .*

Содержание

- 1 Инвариант Расмуссена: определение и основные свойства
 - Инвариант s
 - Свойства s
- 2 Поведение при кобордизмах
 - Элементарные кобордизмы
 - Индуцированные отображения
 - Канонические образующие
 - Четырехмерный род
- 3 Вычисления и связь с другими инвариантами
 - Положительные узлы
- 4 Упражнения

Упражнения

- 1 Покажите, что соответствующие отображения куба на рис. 10, которые определены для гомологий Ли, коммутируют.

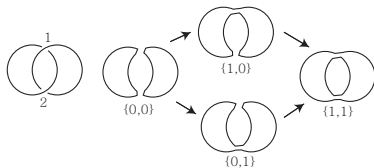


Figure 10: Куб $[0, 1]^2$, соответствующий зацеплению Хопфа

- 2 Пусть L — зацепление Хопфа. Вычислите $Kh'(L)$ и проверьте теорему ??.

Упражнения

3) Пусть $R = \mathbb{Z}[h, t]$ и $V = R[X]/(X^2 - hX - t)$.

Отображение $m : V \otimes V \rightarrow V$:

$$\begin{cases} 1 \otimes X \mapsto X, 1 \otimes 1 \mapsto 1, \\ X \otimes 1 \mapsto X, X \otimes X \mapsto hX + t. \end{cases} \quad (5)$$

Отображение $\Delta : V \rightarrow V \otimes V$

$$\begin{cases} 1 \mapsto 1 \otimes X + X \otimes 1 - h1 \otimes 1 \\ X \mapsto X \otimes X + t1 \otimes 1. \end{cases} \quad (6)$$

Определим дифференциал как сумму частных производных, соответствующих ребрам со знаками, расположенными так, как это было сделано для гомологий Хованова и гомологий Ли.

Покажите, что бифуркационный куб $\{0,1\}^n$ коммутирует.

References |

-  V. O. Manturov, Knot theory: Second edition CRC press 560 April 4, 2018.
-  K. Murasugi, Knot Theory and Its Applications, Springer.
-  Carter, J. S. and Saito, M. (1993) Reidemeister moves for surface isotopies and their interpretation as moves to movies, *J. Knot Theory Ramifications*, **2**, pp. 251–284
-  D. Bar-Natan's homepage, <http://www.ma.huji.ac.il/~drorbn>
-  D. Bar-Natan. The Knot Atlas.
www.math.toronto.edu/~drorbn/KAtlas/index.html, 2003.
-  Dye, H.A., Kaestner, A. and Kauffman, L.H. (2017), Khovanov homology, Lee homology and a Rasmussen invariant for virtual knots, *Journal of Knot Theory and Its Ramifications*, **26**(3), 1741001.

References II

-  Fedoseev, D.A. and Manturov, V.O. (2016), Parities on 2-knots and 2-links, *J. Knot Theory Ramifications*, **25**(14), 1650079, 24 pp.
-  Fedoseev, D.A. and Manturov, V.O. (2017), A sliceness criterion for odd free knots, arXiv:1707.04923.
-  Freedman, M. (1982), A surgery sequence in dimension four; the relations with knot concordance, *Invent. Math.*, **68**(2), pp. 195–226.
-  Khovanov, M. (1997), A categorification of the Jones polynomial, *Duke Math. J.*, **101**, pp.359–426.
-  Khovanov, M. (2002), A functor-valued invariant of tangles, *Algebr. Geom. Topol.*, **2**, pp. 665–741.
-  M. Khovanov, Y. Qi, *A Faithful Braid Group Action on the Stable Category of Tricomplexes*, arXiv:1911.02503v2 [math.RT] 30 Mar 2020.
-  KnotPlot <http://knotplot.com>.

References III

-  KnotScape <http://www.math.utk.edu/~morwen/knotscape.html>.
-  Kronheimer, P.B. and Mrówka, T.S. (1993), Gauge theory for embedded surfaces. I, *Topology*, **32**, pp. 773–826.
-  Lee, E. S. (2002), The support of the Khovanov's invariants for alternating knots, arXiv: math.GT/ 0201105
-  Lee, E.S. (2005), An endomorphism of the Khovanov invariant, *Adv. Math.*, **197**(2), pp. 554–586.
-  Livingston, C. (2004), Computations of the Ozsváth–Szabó knot concordance invariant, *Geom. Topol.*, **8**, pp. 735–742.
-  Manturov V.O. (2012), Parity and cobordisms of free knots, *Sb. Math.*, **203**(1–2), pp. 196–223.
-  McCleary, J. (2001), *A User's Guide to Spectral Sequences* (2nd ed.), Cambridge Studies in Advanced Mathematics, **58**, Cambridge University Press.

References IV

-  Rasmussen, J. A. (2003), Floer Homology and Knot Complements, PhD thesis, Harvard University, math.GT/0306378.
-  Rasmussen J. A. (2010), Khovanov homology and the slice genus, *Invent. Math.*, **182**(2), pp.419–447.
-  Shumakovitch, A. (2003), KhoHo pari package, www.geometrie.ch/KhoHo/.
-  Shumakovitch, A. (2012), Khovanov homology theories and their applications, in: *Perspectives in Analysis, Geometry, and Topology, Progress in Mathematics*, **296**, pp. 403–430.